

尖端技術 어디까지 왔나

化學氣相成長法(CVD)篇 ()



金慶浩

〈產業研究院 研究員〉

차례

- I. 머리말
- II. CVD法의 概要와 特徵
- III. CVD法에서의 重要한 因子
- IV. CVD法의 方法과 裝置
- V. CVD法의 應用
- VI. 關聯特許事例
- VII. 맷는 말

〈고딕은 이번號, 명조는 지난號〉

V. CVD法의 應用

CVD法의 應用分野에는 技能別로 크게 나누어 半導體디바이스製造, 耐酸化材料, 光學材料 및 透明導電材料, 原子力材料, 常溫耐蝕材料, 超導電材料, 複合材料用 高強度纖維, 裝飾品, 單結晶 및 웨스커 등이 있다. 〈表 6〉과 〈表 7〉은 CVD·PVD被膜의 特性과 應用, 各種 化合物의 色과 性質을 각각 要約한 것이다.

〈表 6〉 VD被膜의 特性과 應用

特性	蒸着物質/基體	用途例
耐熱性	SiC/C, Si ₃ N ₄ /C, TaC/C, Al ₂ O ₃ /TiC	터빈날개, 엔진, 原子爐材料
耐摩耗性	TiC/超硬合金, TiC _x N _y /鋼	切削工具, 軸受, 파스톤
高硬度	B ₄ C/C, TiC/鋼, TiB ₂ /鋼, B/C, Cr/鋼	研磨器, 機械部品, 金型, 超硬工具
耐食性	Ta/鋼, Mo/鋼, W/鋼, Ti/鋼, TiC, Al ₂ O ₃ /C	化學裝置, 航空機, 電極材
裝飾性	Au/鋼, TiN/鋼	時計, 裝身具
潤滑性	MoS ₂ /C, WS ₂ /C	潤滑膜
熱電子放射性	ZrC/C, ZrB ₂ /Mo	이미터, 電極材

超電導性	Nb ₃ Sn/C, Nb ₃ Ge/Cu, NbN·NbC/C	超電導코일
透明導電性	SnO ₂ /Si, In ₂ O ₃ /Al	太陽電池, MOS센서 透明電極
高溫電氣特性	TaN, BN, AlN, Ta ₂ O ₃ , SiO ₂ , Fe _x Ni _y Si _z /金屬, 半導體, 글래스	高精度抵抗, 高溫絕緣膜, 誘電體膜, 磁性體膜

〈表 7〉 各種化合物의 色과 性質의 一例

族	化合物名	色	融點 (°C)	微小硬度	耐酸化限界 (°C)
炭化物	TiC	斟은灰色	3,250	3,200	1,100~1,200
	ZrC	灰色	3,535	2,560	1,100~1,200
	NbC	斟은褐色	2,490	2,400	1,000~1,100
	WC	灰色	2,865	2,100	500~800
窒化物	TiN	黃金色	2,950	1,700	1,100~1,400
	ZrN	斟은黃色	2,980	1,520	1,100~1,400
	TaN	灰色	3,090	1,400	500~800
硼化物	TiB ₂	暗灰	3,000	3,480	1,300~1,500
	ZrB ₂	—	3,038	2,200	1,350~1,500
	NbB ₂	—	3,000	1,700	—
酸化物	TiO ₂	白色	1,640	800	—
	ZrO ₂	白色	2,760	1,000	—
	Al ₂ O ₃	白色	2,060	2,380	—

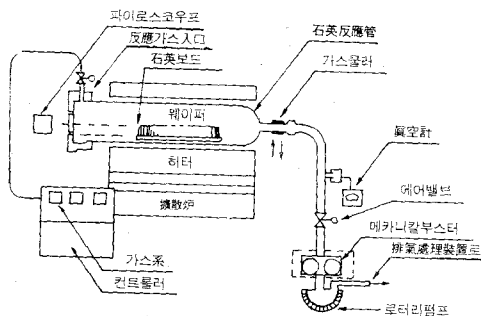
(註) 微小硬度는 處理條件에 따라 變動이 크고 耐酸化限界도 長時間일 수록 낮아진다.

1. 半導體디바이스의 製造

減壓 CVD技術이 量產技術로서 주목을 받기 시작한 것은 VLSI의 開發이 시작된 1975년경 부터이다. 減壓 CVD裝置는 抵抗加熱爐(擴散爐)를 이용한 Hot-wall 方

式이 주류를 이루고 있으며 裝置의 基本構造圖는 (圖 12)와 같다. 減壓 CVD는 減壓中(10~1000pa)에서 행하기 때문에 가스의 擴散係數(平均自由行程)가 크게되어 常壓 CVD에 비해 膜厚分布 및 도포濃度分布의 均一性이 비약적으로 向上한다. 또 웨이퍼를 수직으로 많이 세울 수 있어 높은 生產性을 기대할 수 있다. (表 8)은 半導體製造에 應用되는 CVD技術을 나타낸 것이다.

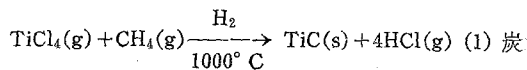
〈圖 12〉 減壓方式 CVD裝置 構造圖



2. 超硬材料

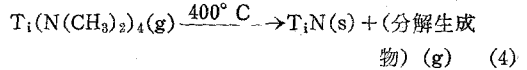
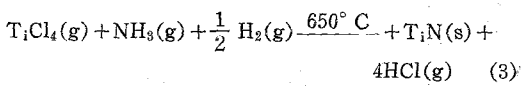
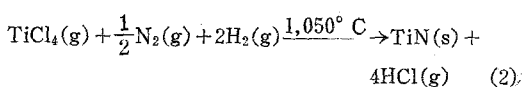
切削工具用의 基質로서는 WC-Co系 超硬合金 및 高速度鋼 등이 使用되며 表面에 析出시키는 化合物로는

炭化티탄이 가장 많고 反應式(1)에 의해 진행된다. (g)는 가스, (s)는 固體狀態임을 나타낸다.

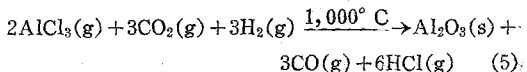


화티탄層의 두께는 보통 5~8μm이며 이 정도의 薄膜으로 壽命이 5배 정도 연장된다. 炭化티탄코팅은 切削工具以外에도 板金加工, 冷間鍛造, 粉末冶金, プラス틱 成形 등의 部品 및 耐磨耗機械部品에 널리 이용된다.

또 다른 超硬材料로서 窒化티탄 및 炭化窒화티탄 ($\text{Ti}_i\text{C}_x\text{N}_y$)이 많이 사용되며 窒化티탄의 反應式은 아래와 같다.



Ti_iC , Ti_iN 表面層의 酸化를 방지하기 위해 式(5)에 의해 알루미나層을 被覆하는 일도 많다.

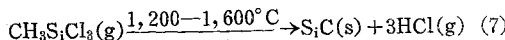
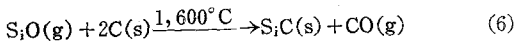


〈表 8〉 CVD膜 生成技術

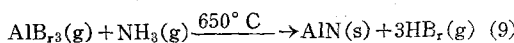
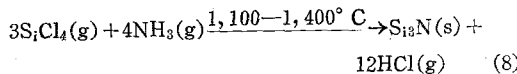
	生成膜의 種類	生 成 法 反 應 式	生 成 溫 度	디 바 이 스
실 리	Si 單結晶	$\text{SiCl}_4 + 2\text{H}_2 \rightarrow \text{Si} + 4\text{HCl}$	1,150~1,200°C	
		$\text{SiHCl}_3 + \text{H}_2 \rightarrow \text{Si} + 3\text{HCl}$	"	
		$\text{SiH}_2\text{Cl}_2 \rightarrow \text{Si} + 2\text{HCl}$	950~1,100°C	바이폴러 IC
		$\text{SiH}_4 \rightarrow \text{Si} + 2\text{H}_2$	"	SOS-MOS IC
콘	Si 多結晶	$\text{SiH}_4 \rightarrow \text{Si} + 2\text{H}_2$ Dopant (PH_3 , B_2H_6 , AsH_3)	N_2 中 600°C H_2 中 700~1,000°C	Si 케이트 MOS IC 擴散源
絕 緣 膜	SiO_2	$\text{SiH}_4 + \text{O}_2 \rightarrow \text{SiO}_2 + 2\text{H}_2$	450~500°C	Al 配線保護膜
		$\text{SiH}_4 + \text{PH}_3 + \text{O}_2 \rightarrow \text{SiO}_5 + \text{P}_2\text{O}_5 + \text{H}_2\text{O}$	350~400°C	表面保護膜
		$\text{SiH}_4 + \text{B}_2\text{H}_6 + \text{O}_2 \rightarrow \text{SiO}_2 + \text{B}_2\text{O}_3 + \text{H}_2\text{O}$	350~400°C	表面安定化膜(Na트랩)
		$2\text{SiH}_4 + \text{CO}_2 + \text{H}_2 \rightarrow \text{SiO}_2 + \text{CO} + 5\text{H}_2\text{O}$	800~950°C	擴散마스크(Si_3N_4 , Al_2O_3 用)
		$\text{Si}(\text{OC}_2\text{H}_5)_4 \rightarrow \text{SiO}_2 \rightarrow 4\text{C}_2\text{H}_4 + 2\text{H}_2\text{O}$	700~800°C	擴散源
(非 晶 體)	Si_3N_4	$3\text{SiH}_4 + 4\text{NH}_3 \rightarrow \text{Si}_3\text{N}_4 + 12\text{H}_2$	700~950°C	酸化擴散마스크(LOCOS) 表面保護膜 IC에 모리(MNOS) 빙리드
		$3\text{SiCl}_4 + 4\text{NH}_3 \rightarrow \text{Si}_3\text{N}_4 + 12\text{HCl}$	"	
	Al_2O_3	$2\text{AlCl}_3 + 3\text{CO}_2 + 3\text{H}_2 \rightarrow \text{Al}_2\text{O}_3 + 3\text{CO} + 6\text{HCl}$	800~950°C	IC에 모리(MAOS)
		$2\text{Al}(\text{CH}_3)_3 + 9\text{O}_2 \rightarrow \text{Al}_2\text{O}_3 + 6\text{CO}_2 + 9\text{H}_2\text{O}$	350~500°C	表面保護膜(MOS IC)
		$\text{Al}(\text{C}_2\text{H}_5)_3, \text{Al}(\text{i-C}_4\text{H}_9)_2$ 도 同樣의 反應		多層配線用絕緣膜
		$\text{Al}(\text{i-OC}_2\text{H}_7)_3 \rightarrow \text{Al}_2\text{O}_3 + \text{xCrHm} + \text{yH}_2\text{O}$	350~450°C	表面保護膜(工具用)
		$\text{Al}(\text{OC}_2\text{H}_5)_3, \text{Al}(\text{CO}_4\text{H}_9)_2$ 도 同樣의 反應		擴散마스크用(GaAsP)

3. 耐酸化材料

黑鉛에 炭化硅素를 CVD被覆한 材料는 半導體工業에서 실리콘웨이퍼의 서셉터로서 需要가 크며 反應式은 아래와 같다.

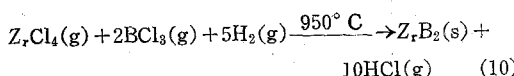


窒化硅素 및 窒化알루미늄도 耐酸化被覆에 적당한材料이며 反應式은 다음과 같다.



4. 光學材料 및 透明導電材料

光파이버의 이용에서 그 파이버의芯部에 실리카 및 게르마늄 CVD에 의해芯部의屈折率를 높여 通信에 이용함으로써 傳送損失을 현저히 줄일 수 있다. 太陽光熱發電用集光보일러의 表面材料에는 高光吸收率, 低反射係數, 高熱傳導率, 600°C 정도까지의 耐酸化性 등이 요구되는데, 二硼化ジルコ늄이 이에 적당하여 다음의 CVD反應으로 蒸着된다.



5. 原子力材料

原子力材料의 利用에 있어서는 우선 2,000°C 이상의融解알칼리金屬의 热交換파이프에 텅스텐 CVD가 있고, 그의 燃料포토의 黑鉛파이프의 부식을 방지하는 炭化지르코늄 CVD 등이 있다.

6. 기타

기타 CVD의 利用으로는, 常溫耐蝕材料에 탄탈륨(Ta), 超電導材料에 Nb₃G_e 및 Nb₃S_n, 複合材料用高強度纖維에 TaC 및 B, 裝飾品에 TiN 등의 CVD가 많이 사용된다.

V. 關聯特許事例

CVD에 關聯된 特許는 현재까지 세계적으로 상당히 많으며 앞으로도 이 分野에 대한 特許는 계속增加될 것이라고 생각된다. 여기서는 CVD와 關聯한 최근의 特許 8편을 간략히 소개하고자 한다.

1. 美國特許 4,619,038

이 特許는 半導體디바이스製造時에 CVD에 의해 高

溫·低壓에서 Ti_xSi₂層의 선택적 形成에 관한 것이다. 700~1,000°C, 0.5~1.5 torr에서 Ti_xSi₂는 突出된 실리콘 또는 多結晶실리콘 表面에만 蒸着한다. 본工程에 의해 半導體 IC에 있어 高信賴度의 交絡을 유지하는 실리카金屬層을 얻을 수 있다.

2. 英國特許 2,175,011

本特許는 CVD裝置에 관한 것으로 특히 反應室內에 놓여 있는 基材에 反應性氣體를 分給하는 冷却된 매니폴드에 관한 것이다. 즉 하나 또는 그 이상의 冷却튜브가 매니폴드를 둘러싸 적어도 反應溫度以下로 유지함으로써 氣體가 미리 매니폴드에서 反應하지 않도록 하기 위함이다. 따라서 충분한 量의 未反應氣體가 基材에 供給되어 만족스러운 코팅을 행할 수 있다.

3. 日本公告特許 86-49,390

本發明은 六氟化텅스텐, 水素, 시클로프로판가스를 反應가스로 하고, 캐리어가스인 不活性가스와 함께 反應室內로 供給하여 被蒸着物의 表面에 細密하고 平滑한 炭化텅스텐被膜을 形成하기 위한 化學蒸着法에 관한 것이다. 反應條件은 被蒸着物의 溫度 350~600°C, WF₆:H₂=1:3~1:15, (WF₆+H₂)에 대한 C₃H₆의 몰비 0.01~0.30이며 캐리어가스는 Ar을 사용했다.

VII. 맷는말

급후 CVD의 發展중에는 新種의 化合物 및 單體의 開發보다는 部分코팅, 펄스 CVD, 플라즈마 CVD 등의 工程 및 裝置의 發展에 보다 큰 가능성이 기대된다. 특히 部分코팅은 複雜한 形狀의 基質이나 큰 基質에 있어 局所被覆을 위하여서는 菲廉적으로 요구되고 있다. 또 反應管의 洗淨, 펌프오일의 交換 등 메인티넌스의 문제에 있어 自動化的 촉진과 容易한 作業構造에 대한 研究가 필요할 것이다. <完>

新刊案内

國際工業所有權法

〈韓·美·日·英·獨·佛·파리條約·

PCT·EPC制度총망라〉

■辨理士 金永吉編著

■4·6倍版: 1,664面(부록포함)

■價格: 74,000원

■판매처: 韓國發明特許協會 資料販賣센터